

Ein und Ausgabe: Farbmetrisches Drucker-Reflexiv-System ORS22_96, L* = 22.96 für relativen CIE-LAB-Buntton $h^* = lab^*h^* = h_{95}/360 = 0.451$ $u^*_e = g50b$

Daten für jede Farbe:
 lab^*ich^* und lab^*icu^*
 Bunttonstexte:
 $u^*_e = g50b$ $u^*_d = 112c$
 Kontrastreduzierungsfaktor:
 $c_R = 1.0$
 Dreiecks-Helligkeit I^*

ORS22_96a adaptierte CIE-LAB-Daten
 L^* a^* b^* C_{ab} h^* m^*
 Yaa 48.09 66.19 40.28 77.48 31
 Yaa 90.26 -9.62 88.21 88.73 96
 Yaa 55.82 -65.29 33.87 73.56 153
 Yaa 63.03 -30.53 -42.04 51.96 234
 Yaa 27.53 23.95 -47.37 54.01 299
 Yaa 49.52 73.53 -9.02 74.08 353
 Yaa 22.01 0.0 0.0 0.0 0
 Yaa 96.24 0.0 0.0 0.0 0
 Yaa 39.02 58.74 27.99 65.07 25
 Yaa 81.26 -2.89 71.56 71.62 92
 Yaa 52.23 -42.42 13.6 44.55 162
 Yaa 30.57 1.41 -46.47 46.49 272

Daten für Maximalfarbe (Ma):
 $LAB^*LAB^*Ma: 57 - 88 10$
 $LAB^*LCH^*Ma: 57 61 162$
 $lab^*rgb^*Ma: 0.0 1.0 0.0$
 $lab^*oh^*Ma: 0.0 1.0 0.12$
 Dreiecks-Helligkeit I^*

ORS22_96a adaptierte CIE-LAB-Daten
 L^* a^* b^* C_{ab} h^* m^*
 Yaa 48.09 66.19 40.28 77.48 31
 Yaa 90.26 -9.62 88.21 88.73 96
 Yaa 55.82 -65.29 33.87 73.56 153
 Yaa 63.03 -30.53 -42.04 51.96 234
 Yaa 27.53 23.95 -47.37 54.01 299
 Yaa 49.52 73.53 -9.02 74.08 353
 Yaa 22.01 0.0 0.0 0.0 0
 Yaa 96.24 0.0 0.0 0.0 0
 Yaa 39.02 58.74 27.99 65.07 25
 Yaa 81.26 -2.89 71.56 71.62 92
 Yaa 52.23 -42.42 13.6 44.55 162
 Yaa 30.57 1.41 -46.47 46.49 272

Ein und Ausgabe: Farbmetrisches Drucker-Reflexiv-System ORS22_96, L* = 22.96 für relativen CIE-LAB-Buntton $h^* = lab^*h^* = h_{95}/360 = 0.527$ $u^*_e = g25b$

Daten für jede Farbe:
 lab^*ich^* und lab^*icu^*
 Bunttonstexte:
 $u^*_e = g25b$ $u^*_d = 145c$
 Kontrastreduzierungsfaktor:
 $c_R = 1.0$
 Dreiecks-Helligkeit I^*

ORS22_96a adaptierte CIE-LAB-Daten
 L^* a^* b^* C_{ab} h^* m^*
 Yaa 48.09 66.19 40.28 77.48 31
 Yaa 90.26 -9.62 88.21 88.73 96
 Yaa 55.82 -65.29 33.87 73.56 153
 Yaa 63.03 -30.53 -42.04 51.96 234
 Yaa 27.53 23.95 -47.37 54.01 299
 Yaa 49.52 73.53 -9.02 74.08 353
 Yaa 22.01 0.0 0.0 0.0 0
 Yaa 96.24 0.0 0.0 0.0 0
 Yaa 39.02 58.74 27.99 65.07 25
 Yaa 81.26 -2.89 71.56 71.62 92
 Yaa 52.23 -42.42 13.6 44.55 162
 Yaa 30.57 1.41 -46.47 46.49 272

Daten für Maximalfarbe (Ma):
 $LAB^*LAB^*Ma: 60 - 46 - 5$
 $LAB^*LCH^*Ma: 60 47 189$
 $lab^*rgb^*Ma: 0.0 1.0 0.45$
 $lab^*oh^*Ma: 0.0 1.0 0.45$
 Dreiecks-Helligkeit I^*

ORS22_96a adaptierte CIE-LAB-Daten
 L^* a^* b^* C_{ab} h^* m^*
 Yaa 48.09 66.19 40.28 77.48 31
 Yaa 90.26 -9.62 88.21 88.73 96
 Yaa 55.82 -65.29 33.87 73.56 153
 Yaa 63.03 -30.53 -42.04 51.96 234
 Yaa 27.53 23.95 -47.37 54.01 299
 Yaa 49.52 73.53 -9.02 74.08 353
 Yaa 22.01 0.0 0.0 0.0 0
 Yaa 96.24 0.0 0.0 0.0 0
 Yaa 39.02 58.74 27.99 65.07 25
 Yaa 81.26 -2.89 71.56 71.62 92
 Yaa 52.23 -42.42 13.6 44.55 162
 Yaa 30.57 1.41 -46.47 46.49 272

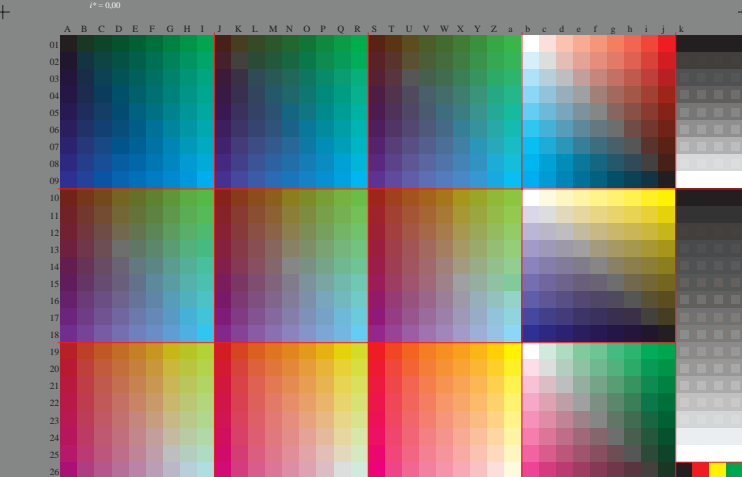
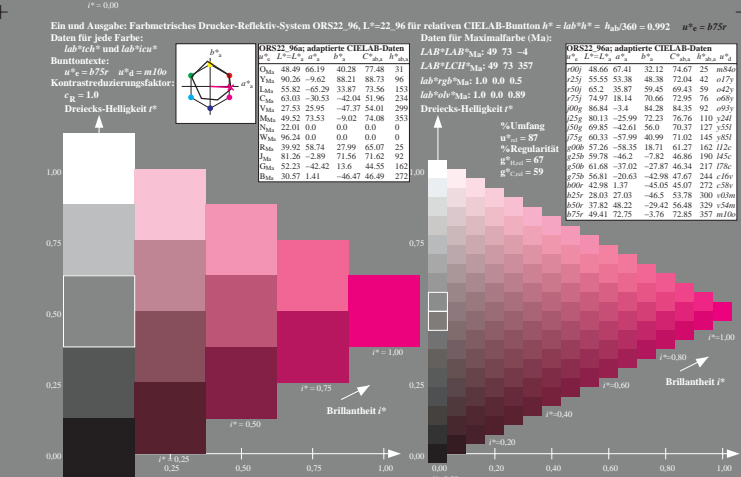
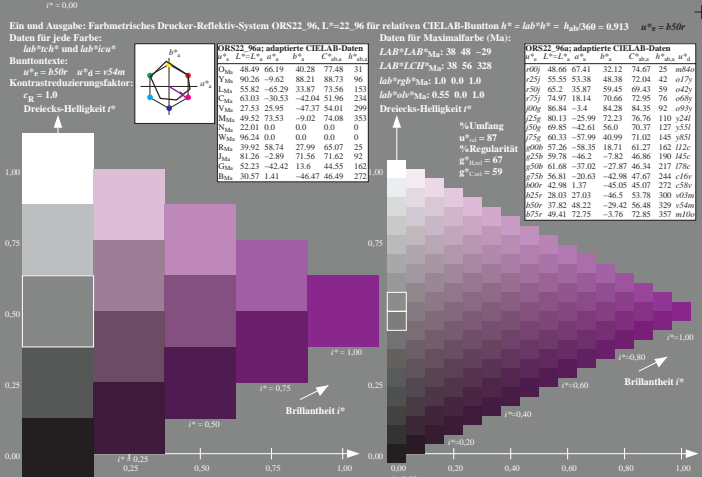
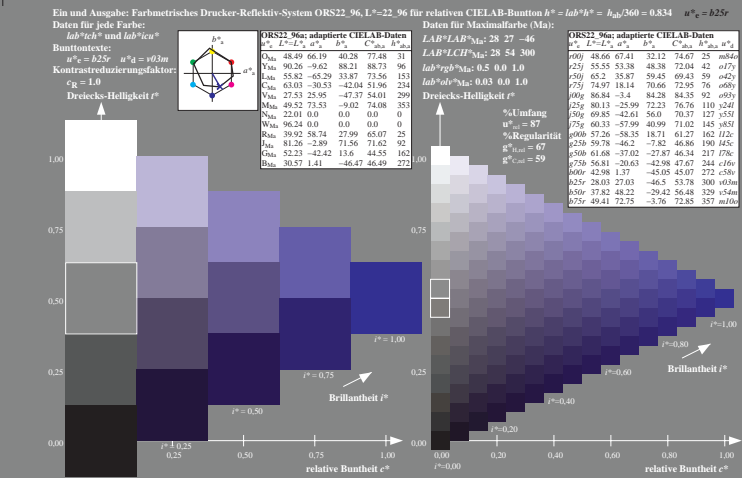
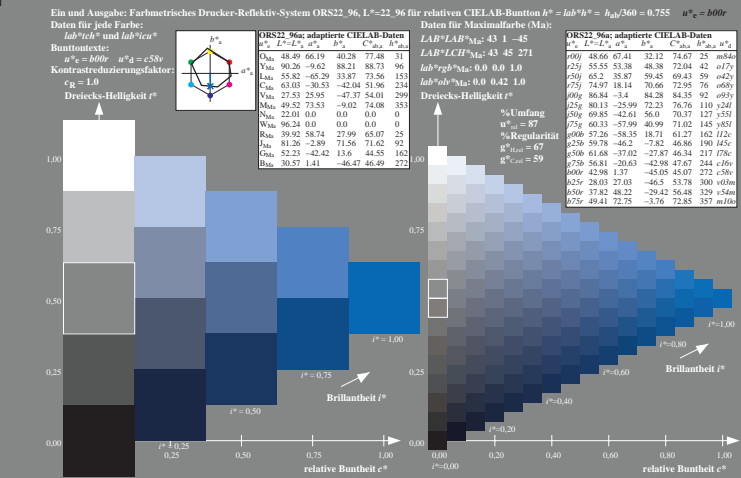
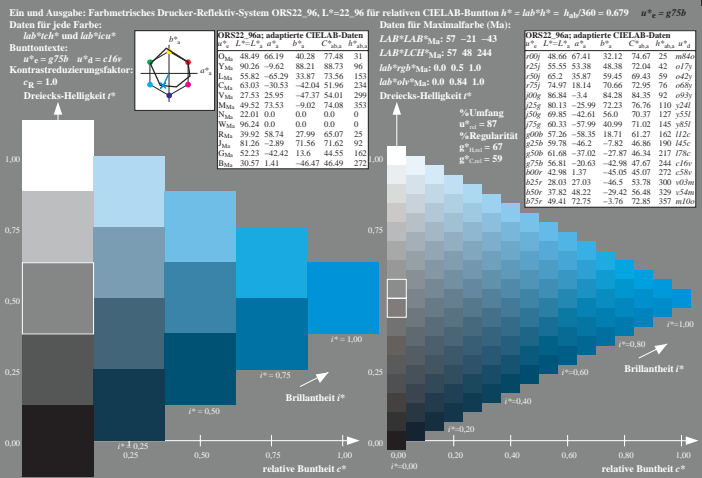
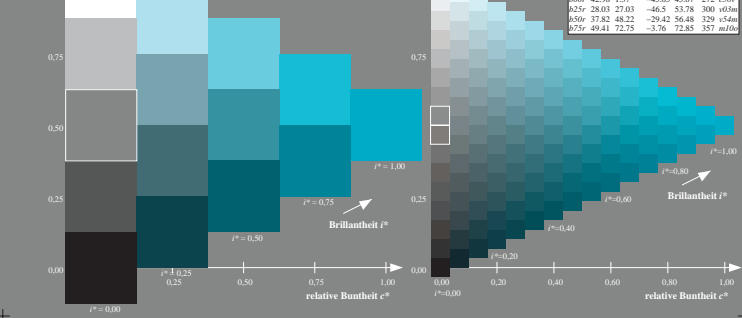
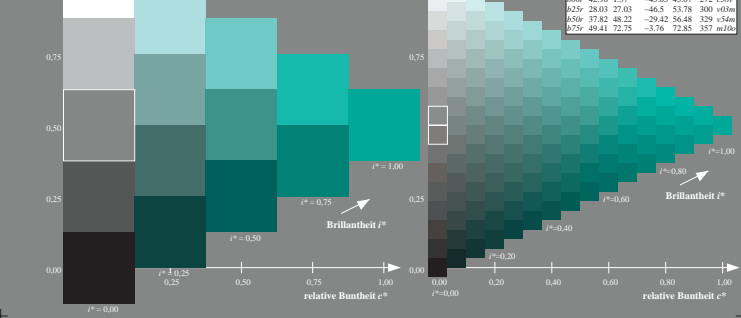
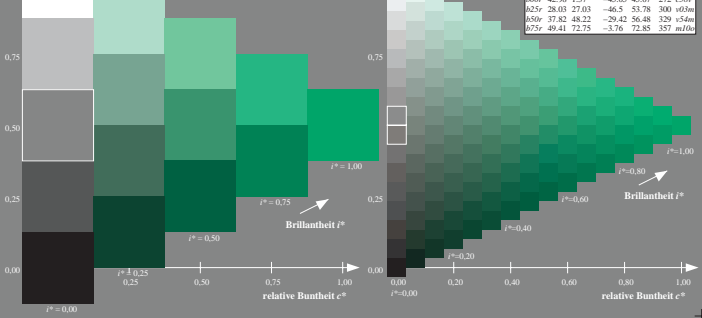
Ein und Ausgabe: Farbmetrisches Drucker-Reflexiv-System ORS22_96, L* = 22.96 für relativen CIE-LAB-Buntton $h^* = lab^*h^* = h_{95}/360 = 0.603$ $u^*_e = g50b$

Daten für jede Farbe:
 lab^*ich^* und lab^*icu^*
 Bunttonstexte:
 $u^*_e = g50b$ $u^*_d = 176c$
 Kontrastreduzierungsfaktor:
 $c_R = 1.0$
 Dreiecks-Helligkeit I^*

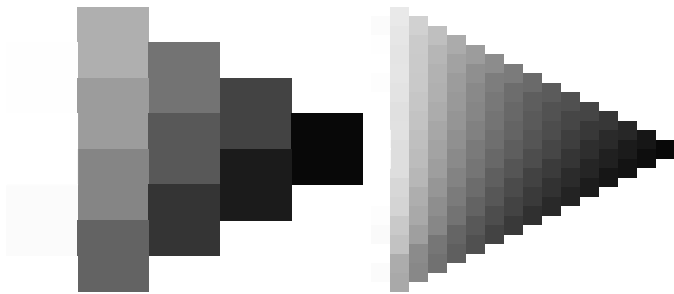
ORS22_96a adaptierte CIE-LAB-Daten
 L^* a^* b^* C_{ab} h^* m^*
 Yaa 48.09 66.19 40.28 77.48 31
 Yaa 90.26 -9.62 88.21 88.73 96
 Yaa 55.82 -65.29 33.87 73.56 153
 Yaa 63.03 -30.53 -42.04 51.96 234
 Yaa 27.53 23.95 -47.37 54.01 299
 Yaa 49.52 73.53 -9.02 74.08 353
 Yaa 22.01 0.0 0.0 0.0 0
 Yaa 96.24 0.0 0.0 0.0 0
 Yaa 39.02 58.74 27.99 65.07 25
 Yaa 81.26 -2.89 71.56 71.62 92
 Yaa 52.23 -42.42 13.6 44.55 162
 Yaa 30.57 1.41 -46.47 46.49 272

Daten für Maximalfarbe (Ma):
 $LAB^*LAB^*Ma: 62 - 37 - 28$
 $LAB^*LCH^*Ma: 62 46 216$
 $lab^*rgb^*Ma: 0.0 1.0 1.0$
 $lab^*oh^*Ma: 0.0 1.0 0.79$
 Dreiecks-Helligkeit I^*

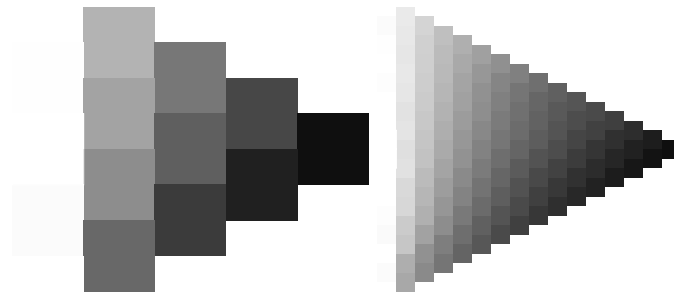
ORS22_96a adaptierte CIE-LAB-Daten
 L^* a^* b^* C_{ab} h^* m^*
 Yaa 48.09 66.19 40.28 77.48 31
 Yaa 90.26 -9.62 88.21 88.73 96
 Yaa 55.82 -65.29 33.87 73.56 153
 Yaa 63.03 -30.53 -42.04 51.96 234
 Yaa 27.53 23.95 -47.37 54.01 299
 Yaa 49.52 73.53 -9.02 74.08 353
 Yaa 22.01 0.0 0.0 0.0 0
 Yaa 96.24 0.0 0.0 0.0 0
 Yaa 39.02 58.74 27.99 65.07 25
 Yaa 81.26 -2.89 71.56 71.62 92
 Yaa 52.23 -42.42 13.6 44.55 162
 Yaa 30.57 1.41 -46.47 46.49 272



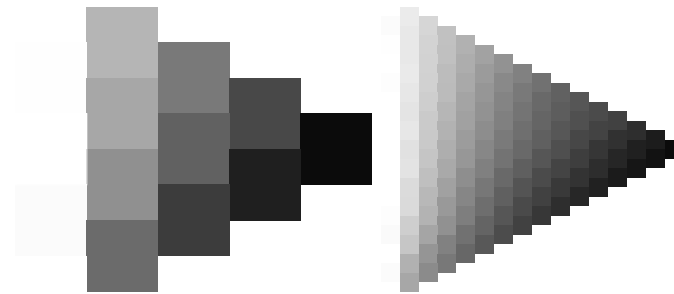
••



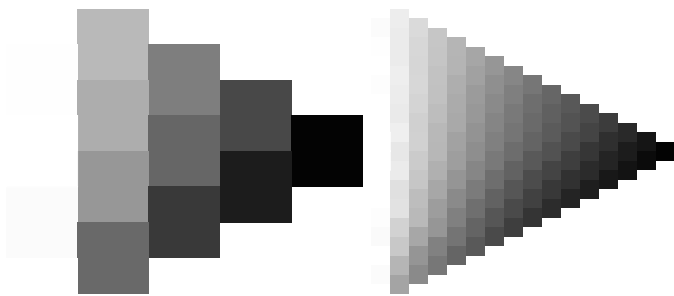
••



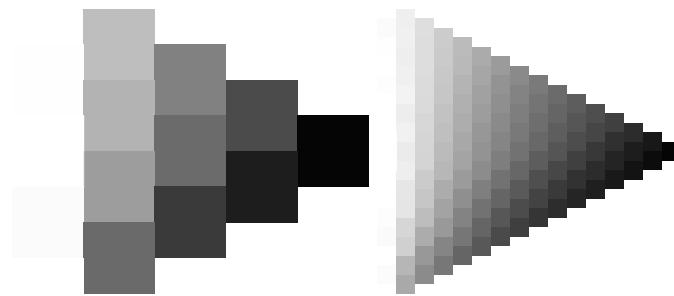
••



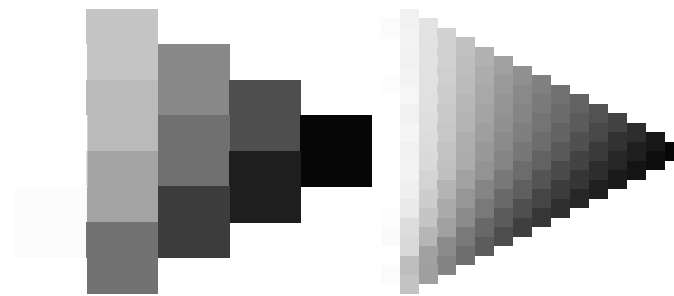
••



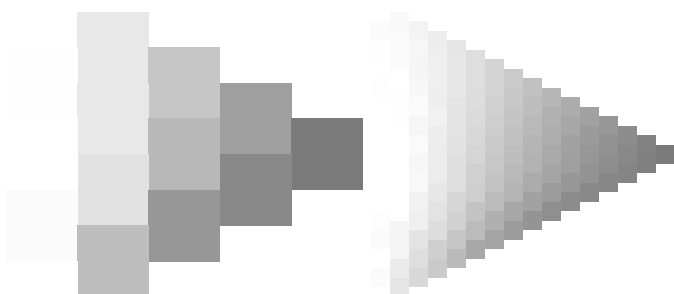
••



••



••



••

